

УДК 541.54

**КВАНТОВО-ХИМИЧЕСКОЕ МОДЕЛИРОВАНИЕ ТРАНС- И ЦИС-ИЗОМЕРОВ  
БИС-ХЕЛАТНЫХ АЗОМЕТИНОВЫХ КОМПЛЕКСОВ Ni(II), Pd(II), Pt(II)  
С КООРДИНАЦИОННЫМ УЗЛОМ MN<sub>2</sub>Y<sub>2</sub> (Y = O, S, Se)**

**Н.Н. Харабаев<sup>1</sup>, А.Г. Стариakov<sup>1,2</sup>, В.И. Минкин<sup>1,2</sup>**

<sup>1</sup>НИИ физической и органической химии Южного федерального университета, Ростов-на-Дону, Россия  
E-mail: kharabayev@aaanet.ru

<sup>2</sup>Южный научный центр РАН, Ростов-на-Дону, Россия

Статья поступила 21 мая 2015 г.

В рамках метода теории функционала плотности проведено моделирование экспериментально наблюдаемых стереоэффектов лигандного окружения в низкоспиновых бисхелатах Ni(II), Pd(II), Pt(II) с ароматическими азометинами. Показано, что для комплексов с координационным узлом MN<sub>2</sub>O<sub>2</sub> характерна *транс*-конфигурация, а в комплексах с узлом MN<sub>2</sub>S<sub>2</sub> или MN<sub>2</sub>Se<sub>2</sub> происходит стабилизация *цис*-конфигурации. Установлена связь между составом металлоциклов и их конформацией (величиной перегиба по линии донорных атомов), степенью стерических ограничений для *цис*-конфигурации за счет межлигандного взаимодействия заместителей R у атомов азота азометиновой группы и относительной устойчивостью *цис*- и *транс*-изомеров комплексов.

DOI: 10.15372/JSC20160302

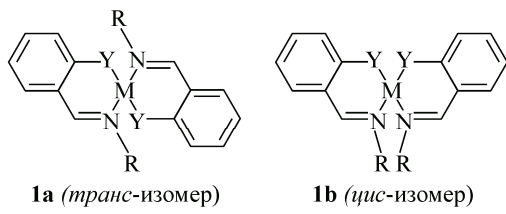
**Ключевые слова:** квантовая химия, молекулярная структура, хелатные комплексы металлов, ароматические азометины.

**ВВЕДЕНИЕ**

Изучению молекулярного строения и физико-химических свойств хелатных комплексов тетракоординированных переходных металлов с Шиффовыми основаниями (координационные узлы MN<sub>2</sub>Y<sub>2</sub> (Y = O, S, Se)) посвящено большое число исследований (см. обзоры [ 1—5 ]), на основании которых установлено, что планарные комплексы *d*<sup>8</sup>-металлов (Ni<sup>2+</sup>, Pd<sup>2+</sup>, Pt<sup>2+</sup>) в зависимости от состава лигандирующих донорных атомов могут стабилизоваться в *транс*- или *цис*-конфигурациях. Рентгеноструктурные исследования последних лет [ 6—13 ], как и более ранние [ 1, 14—16 ], показали, что в отличие от O-содержащих азометиновых комплексов с координационным узлом NiN<sub>2</sub>O<sub>2</sub> [ 1, 6, 7, 14 ], PdN<sub>2</sub>O<sub>2</sub> [ 1, 7, 8 ] и PtN<sub>2</sub>O<sub>2</sub> [ 9 ], для которых характерна *транс*-конфигурация, S- и Se-содержащим комплексам с координационными узлами NiN<sub>2</sub>S<sub>2</sub> [ 1, 10, 15 ], NiN<sub>2</sub>Se<sub>2</sub> [ 11 ], PdN<sub>2</sub>S<sub>2</sub> [ 10, 16 ], PdN<sub>2</sub>Se<sub>2</sub> [ 12 ], PtN<sub>2</sub>S<sub>2</sub> [ 13 ], PtN<sub>2</sub>Se<sub>2</sub> [ 12 ] свойственна *цис*-конфигурация. Накопленная обширная экспериментальная информация о факторах, определяющих молекулярное строение бисхелатов *d*<sup>8</sup>-металлов (Ni<sup>2+</sup>, Pd<sup>2+</sup>, Pt<sup>2+</sup>) с координационными узлами MN<sub>2</sub>Y<sub>2</sub> (Y = O, S, Se) пока не имеет достаточной теоретической интерпретации. Наиболее подробно методами квантовой химии эффекты лигандного окружения изучены в бисхелатах Ni(II) с координационным узлом MN<sub>2</sub>Y<sub>2</sub> (Y = O, S) [ 17 ].

Целью настоящей работы является теоретическое (с помощью квантово-химических расчетов методом теории функционала плотности (DFT [ 18 ])) исследование влияния состава лигандирующих (донорных) атомов на относительную устойчивость *транс*- или *цис*-изомеров бис-

хелатов  $d^8$ -металлов ( $\text{Ni}^{2+}$ ,  $\text{Pd}^{2+}$ ,  $\text{Pt}^{2+}$ ) на основе ароматических азометинов (**1**, координационные узлы  $\text{MN}_2\text{Y}_2$  ( $\text{Y} = \text{O}, \text{S}, \text{Se}$ )).



**1** ( $\text{M} = \text{Ni}(\text{II}), \text{Pd}(\text{II}), \text{Pt}(\text{II}); \text{Y} = \text{O}, \text{S}, \text{Se}; \text{R} = \text{H}, \text{Ph}$ ).

Квантово-химические расчеты выполнены с помощью программы Gaussian03 [19] методом теории функционала плотности [18] с использованием гибридного функционала B3LYP [20, 21] в сочетании с базисом 6-311++G( $d,p$ ) для комплексов Ni(II) и базисом SDD для комплексов Pd(II) и Pt(II). Выбор расчетной схемы основан на результатах методических работ по применимости методов DFT при исследовании молекулярного строения [22—24], включая координационные соединения [24]. Изучение конфигурационных *транс*- и *цис*-изомеров бисхелатов Ni(II), Pd(II), Pt(II) проведено путем полной оптимизации геометрии молекулярных структур и с учетом того, что для плоской конфигурации основным является синглетное электронное состояние. Графические изображения молекулярных структур построены при помощи программы ChemCraft [25].

#### РАСЧЕТНАЯ ЧАСТЬ (РЕЗУЛЬТАТЫ И ИХ ОБСУЖДЕНИЕ)

При исследовании зависимости относительной устойчивости *транс*- и *цис*-планарных изомеров азометиновых бисхелатов **1** ( $\text{M} = \text{Ni}(\text{II}), \text{Pd}(\text{II}), \text{Pt}(\text{II}); \text{Y} = \text{O}, \text{S}, \text{Se}$ ) от состава координационного узла  $\text{MN}_2\text{Y}_2$  были изучены комплексы, включающие при атоме азота фенильную группу ( $\text{R} = \text{Ph}$ ) или атом водорода ( $\text{R} = \text{H}$ ) по аналогии с проведенным ранее исследованием бисхелатов Ni(II) с координационным узлом  $\text{NiN}_2\text{Y}_2$  ( $\text{Y} = \text{O}, \text{S}$ ) [17].

Как следует из приведенных в табл. 1 результатов расчетов относительных энергий изомеров азометиновых комплексов **1** с  $\text{R} = \text{H}$ , наиболее предпочтительными являются *транс*-изомеры, характеризующиеся плоским строением металлоциклов.

Таблица 1

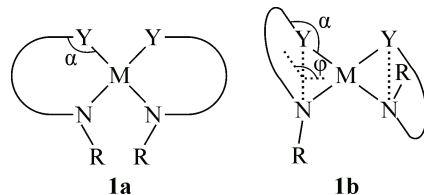
Рассчитанные DFT-методом относительные энергии ( $\Delta E$ , ккал/моль)  
и относительные энергии с учетом нулевых колебаний ( $\Delta E_{ZPE}$ , ккал/моль)  
*транс*- и *цис*-изомеров комплексов **1** ( $\text{M} = \text{Ni}(\text{II}), \text{Pd}(\text{II}), \text{Pt}(\text{II})$ )

O-содержащие комплексы <b>1</b> ( $\text{M} = \text{Ni}(\text{II}), \text{Pd}(\text{II}), \text{Pt}(\text{II})$ )						S-содержащие комплексы <b>1</b> ( $\text{M} = \text{Ni}(\text{II}), \text{Pd}(\text{II}), \text{Pt}(\text{II})$ )											
R	Изомер	Координационный узел						R	Изомер	Координационный узел							
		NiN <sub>2</sub> O <sub>2</sub>		PdN <sub>2</sub> O <sub>2</sub>		PtN <sub>2</sub> O <sub>2</sub>				NiN <sub>2</sub> S <sub>2</sub>		PdN <sub>2</sub> S <sub>2</sub>		PtN <sub>2</sub> S <sub>2</sub>			
		$\Delta E$	$\Delta E_{ZPE}$	$\Delta E$	$\Delta E_{ZPE}$	$\Delta E$	$\Delta E_{ZPE}$			$\Delta E$	$\Delta E_{ZPE}$	$\Delta E$	$\Delta E_{ZPE}$	$\Delta E$	$\Delta E_{ZPE}$		
$\text{R} = \text{H}$	<i>Транс</i>	0,0	0,0	0,0	0,0	0,0	0,0	$\text{R} = \text{H}$	<i>Транс</i>	0,0	0,0	0,0	0,0	0,0	0,0		
	<i>Цис</i>	8,7	8,5	8,7	8,5	8,0	7,8		<i>Цис</i>	5,9	5,4	6,9	6,4	7,1	6,6		
$\text{R} = \text{Ph}$	<i>Транс</i>	0,0	0,0	0,0	0,0	0,0	0,0	$\text{R} = \text{Ph}$	<i>Транс</i>	0,7	0,7	0,1	0,2	0,0	0,0		
	<i>Цис</i>	8,2	8,2	8,1	8,0	7,9	8,0		<i>Цис</i>	0,0	0,0	0,0	0,0	1,1	0,9		

#### Se-содержащие комплексы **1** ( $\text{M} = \text{Ni}(\text{II}), \text{Pd}(\text{II}), \text{Pt}(\text{II})$ )

R	Изомер	Координационный узел						R	Изомер	Координационный узел							
		NiN <sub>2</sub> Se <sub>2</sub>		PdN <sub>2</sub> Se <sub>2</sub>		PtN <sub>2</sub> Se <sub>2</sub>				NiN <sub>2</sub> Se <sub>2</sub>		PdN <sub>2</sub> Se <sub>2</sub>		PtN <sub>2</sub> Se <sub>2</sub>			
		$\Delta E$	$\Delta E_{ZPE}$	$\Delta E$	$\Delta E_{ZPE}$	$\Delta E$	$\Delta E_{ZPE}$			$\Delta E$	$\Delta E_{ZPE}$	$\Delta E$	$\Delta E_{ZPE}$	$\Delta E$	$\Delta E_{ZPE}$		
$\text{R} = \text{H}$	<i>Транс</i>	0,0	0,0	0,0	0,0	0,0	0,0	$\text{R} = \text{Ph}$	<i>Транс</i>	1,5	1,5	2,1	2,2	0,3	0,4		
	<i>Цис</i>	3,4	2,9	4,2	3,7	4,9	4,3		<i>Цис</i>	0,0	0,0	0,0	0,0	0,0	0,0		

*Рис. 1.* Взаимное расположение заместителей R у атомов азота азометиновой группы в *цис*-изомерах бис-хелатов **1** для плоских (*a*) и "сломанных" по линии атомов N—Y (*b*) металлоциклов



Замена атома водорода ( $R = H$ ) на фенильную группу ( $R = Ph$ ) у азометинового атома азота приводит к тому, что относительная устойчивость *транс*- и *цис*-конфигурационных изомеров становится зависимой от состава координационного узла  $MN_2Y_2$  ( $Y = O, S, Se$ ) бис-хелатов **1** (см. табл. 1). Так, согласно расчетам, для комплексов Ni(II), Pd(II), Pt(II) с координационным узлом  $MN_2O_2$  *транс* энергетически заметно предпочтительнее *цис*-конфигурации, для комплексов с координационным узлом  $MN_2S_2$  энергетическое различие между *транс*- и *цис*-конфигурациями существенно меньше, а в комплексах с координационным узлом  $MN_2Se_2$  более устойчивой формой является *цис*-конфигурация (см. табл. 1).

Установленная зависимость относительной устойчивости *транс*- и *цис*-плоских изомеров комплексов  $d^8$ -металлов ( $Ni^{2+}, Pd^{2+}, Pt^{2+}$ ) от состава координационного узла  $MN_2Y_2$  ( $Y = O, S, Se$ ) может быть интерпретирована, исходя из особенностей конформации O-, S- и Se-содержащих шестичленных металлоциклов, различающихся степенью перегиба (величиной угла  $\phi$ ) по линии донорных атомов N—Y (рис. 1, табл. 2), по аналогии с проведенным ранее исследованием азометиновых комплексов Ni(II) [17].

Уплощенные O-содержащие металлоциклы (см. табл. 2) обусловливают существенные стерические ограничения для *цис*-конфигурации координационного узла  $MN_2O_2$  за счет межлигандного взаимодействия заместителей R у азометиновых атомов азота (см. рис. 1, *a*), что делает эту конфигурацию невыгодной и предопределяет полученное в DFT-расчетах энергетическое предпочтение *транс*-изомеров комплексов Ni(II), Pd(II), Pt(II) с узлом  $MN_2O_2$  (см. табл. 1). Для S- и Se-содержащих металлоциклов (с арильным заместителем ( $R = Ph$ ) у азометинового

## Таблица 2

*Рассчитанные DFT-методом геометрические параметры координационного узла  $MN_2Y_2$  (длина связей M—N, M—Y и величина внутрициклического угла N—M—Y), величины валентного угла  $\alpha$  у атома Y и угла  $\phi$  перегиба металлоцикла по линии атомов N—Y в *транс*- и *цис*-изомерах комплексов **1** ( $M = Ni(II), Pd(II), Pt(II); Y = O, S, Se; R = Ph$ )*

Y	Узел $MN_2Y_2$	Конфигурация	M—N, Å	M—Y, Å	N—M—Y, град.	$\alpha(Y)$ , град.	$\phi(N—Y)$ , град.
$Y = O$	$NiN_2O_2$	<i>Транс</i>	1,940	1,850	92,8	130,6	7,0
		<i>Цис</i>	1,934	1,868	92,0	127,1	22,0
	$PdN_2O_2$	<i>Транс</i>	2,054	2,006	91,6	127,9	7,0
		<i>Цис</i>	2,057	2,015	89,9	124,9	24,0
	$PtN_2O_2$	<i>Транс</i>	2,048	2,023	92,1	127,1	5,0
		<i>Цис</i>	2,050	2,031	90,2	124,9	22,0
$Y = S$	$NiN_2S_2$	<i>Транс</i>	1,932	2,247	91,6	105,5	39,0
		<i>Цис</i>	1,969	2,205	92,3	105,4	38,0
	$PdN_2S_2$	<i>Транс</i>	2,063	2,405	89,7	104,3	38,0
		<i>Цис</i>	2,107	2,360	90,0	103,5	39,0
$Y = Se$	$PtN_2Se_2$	<i>Транс</i>	2,059	2,422	90,1	104,8	36,0
		<i>Цис</i>	2,094	2,381	90,3	103,8	38,0
	$NiN_2Se_2$	<i>Транс</i>	1,926	2,372	90,6	99,1	44,5
		<i>Цис</i>	1,979	2,317	91,8	100,4	41,0
	$PdN_2Se_2$	<i>Транс</i>	2,061	2,506	89,2	99,2	42,5
		<i>Цис</i>	2,124	2,448	89,9	99,4	42,0
	$PtN_2Se_2$	<i>Транс</i>	2,060	2,520	89,5	99,8	41,0
		<i>Цис</i>	2,111	2,467	90,2	99,7	41,0

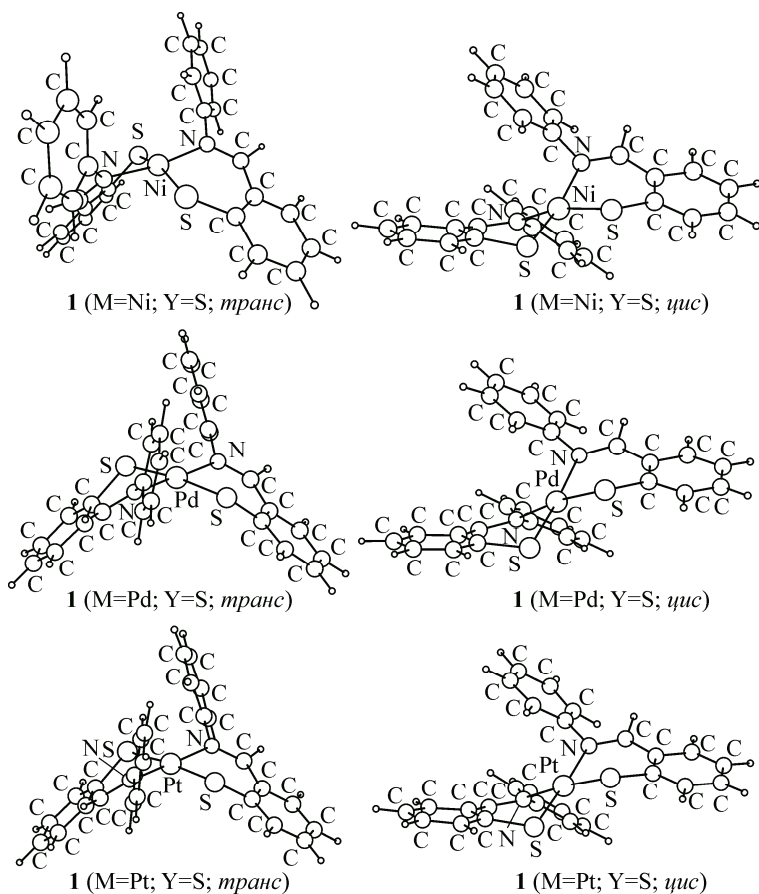


Рис. 2. Рассчитанные молекулярные структуры *транс*- и *цис*-изомеров комплексов **1** ( $M = \text{Ni}(\text{II})$ ,  $\text{Pd}(\text{II})$ ,  $\text{Pt}(\text{II})$ ;  $Y = \text{S}$ ;  $R = \text{Ph}$ )

атома азота) характерен значительный перегиб по линии донорных атомов  $N—S$  или  $N—Se$ , величина угла которого  $\phi$  составляет около  $40^\circ$  (см. рис. 1, б, табл. 2). Такое искажение  $S$ - и  $Se$ -содержащих металлоциклов существенно разводит в пространстве заместители  $R$  в *цис*-конфигурации координационного узла  $MN_2Y_2$  ( $Y = \text{S}$ ,  $\text{Se}$ ) (см. рис. 1, б), нивелируя энергетические различия между *цис*- и *транс*-изомерами комплексов, что проявляется в малых величинах  $\Delta E$  ( $\Delta E = |E(\text{транс}) - E(\text{цис})|$ ) относительных энергий (см. табл. 1).

На рис. 2 изображены рассчитанные молекулярные структуры *транс*- и *цис*-изомеров бис-хелатных комплексов  $\text{Ni}(\text{II})$ ,  $\text{Pd}(\text{II})$  и  $\text{Pt}(\text{II})$  с ароматическими

азометинами (координационный узел  $MN_2S_2$ ), на которых видны отмеченные выше существенные перегибы  $S$ -содержащих металлоциклов по линии атомов  $N—S$ . Комpleксы с координационным узлом  $MN_2Se_2$  имеют аналогичную геометрию, причем для *транс*-изомеров предпочтительна конформация зонтик, а для *цис*-изомеров — конформация ступенька (см. рис. 2). Числовые данные геометрических параметров координационных узлов  $MN_2Y_2$  ( $Y = \text{O}$ ,  $\text{S}$ ,  $\text{Se}$ ) для комплексов  $\text{Ni}(\text{II})$ ,  $\text{Pd}(\text{II})$ ,  $\text{Pt}(\text{II})$  приведены в табл. 2.

Следует отметить, что в рассмотренных  $S$ - и  $Se$ -содержащих комплексах  $\text{Ni}(\text{II})$ ,  $\text{Pd}(\text{II})$  и  $\text{Pt}(\text{II})$  на основе ароматических азометинов ( $R = \text{Ph}$ ) величины угла перегиба металлоциклов по линии донорных атомов  $N—S$  или  $N—Se$  в *транс*- и *цис*-изомерах практически совпадают (см. табл. 2). Это свидетельствует о том, что природа такого перегиба  $S$ - и  $Se$ -содержащих шестизвездных металлоциклов не определяется стерическими межлигандными взаимодействиями (они существенно различаются для *транс*- и *цис*-изомеров при плоском строении металлоциклов), а связана, прежде всего, с составом металлоциклов. Наличие в составе металлоциклов донорных атомов серы или селена предопределяет малые по величине (около  $105^\circ$  для атома серы и  $100^\circ$  для атома селена, см. табл. 2) внутритицлические валентные углы  $\alpha(S)$  и  $\alpha(Se)$ , реализация которых в планарных бис-хелатах  $\text{Ni}(\text{II})$ ,  $\text{Pd}(\text{II})$  и  $\text{Pt}(\text{II})$  с шестизвездными металлоцикликами требует, как отмечалось ранее [5], значительного перегиба этих циклов по линии донорных атомов  $N—S$  или  $N—Se$  (см. рис. 1, табл. 2). В  $O$ -содержащих металлоциклах величины внутритицлических валентных углов  $\alpha(O)$  гораздо больше (около  $130^\circ$ ), а величина угла перегиба  $\phi$  по линии атомов  $N—O$ , соответственно, меньше (см. табл. 2), что обусловливает для *цис*-конфигурации существенные стерические ограничения за счет межлигандного взаимодействия заместителей  $R$  у атомов азота азометиновой группы (см. рис. 1, а) и делает эту конфигурацию невыгодной по сравнению с *транс*-конфигурацией комплексов  $\text{Ni}(\text{II})$ ,  $\text{Pd}(\text{II})$ ,  $\text{Pt}(\text{II})$  с координационным узлом  $MN_2O_2$  (см. табл. 1).

Полученная на основании DFT-расчетов зависимость относительной устойчивости *транс*- и *цис*-изомеров азометиновых бис-хелатов Ni(II), Pd(II), Pt(II) от состава координационного узла  $MN_2Y_2$  ( $Y = O, S, Se$ ) согласуется с данными рентгеноструктурного анализа комплексов, указывающими на *транс*-конфигурацию координационного узла  $MN_2O_2$  [1, 6—9, 14] и *цис*-конфигурацию узлов  $MN_2S_2$  [1, 10, 13, 15, 16] и  $MN_2Se_2$  [11, 12]. Расчеты корректно воспроизводят экспериментально установленную конформацию *ступенька* для *цис*-изомеров S- и Se-содержащих комплексов Ni(II), Pd(II), Pt(II) со значительными перегибами металлоциклов по линии донорных атомов N—S или N—Se.

## ВЫВОДЫ

Таким образом, на основании теоретического DFT-моделирования стереоэффектов лигандного окружения в планарных бис-хелатах  $d^8$ -металлов ( $Ni^{2+}, Pd^{2+}, Pt^{2+}$ ) с ароматическими азометинами показано, что для комплексов с координационным узлом  $MN_2O_2$  характерна *транс*-конфигурация, а замена атомов кислорода на атомы серы или селена (координационные узлы  $MN_2S_2$  или  $MN_2Se_2$ ) сопровождается стабилизацией *цис*-конфигурации. Этот результат находится в согласии с экспериментальными данными и показывает существование связи между составом координационного узла, составом и конформацией шестизвездных металлоциклов (величиной перегиба по линии донорных атомов), степенью стерических ограничений для *цис*-конфигурации за счет межлигандного взаимодействия заместителей R у атомов азота азометиновой группы и относительной устойчивостью *транс*- и *цис*-изомеров бис-хелатных комплексов Ni(II), Pd(II), Pt(II).

Работа выполнена в рамках базовой части внутреннего гранта ЮФУ, тема № 213.01-2014/005.

## СПИСОК ЛИТЕРАТУРЫ

1. Garnovskii A.D., Nivorozhkin A.L., Minkin V.I. // Coord. Chem. Rev. – 1993. – **126**, N 1-2. – P. 1 – 69.
2. Bourget-Merle L., Lappert M.F., Severn J.R. // Chem. Rev. – 2002. – **102**, N 9. – P. 3031 – 3066.
3. Коган В.А., Харабаев Н.Н., Осинов О.А., Kochin С.Г. // Журн. структур. химии. – 1981. – **22**, № 1. – С. 126 – 148.
4. Гарновский А.Д., Бурлов А.С., Васильченко И.С. и др. // Координац. химия. – 2010. – **36**, № 2. – С. 83 – 98.
5. Харабаев Н.Н. // Координац. химия. – 1991. – **17**, № 5. – С. 579 – 596.
6. Song X., Wang Z., Zhao J., Hor T.S.A. // Chem. Commun. – 2013. – **49**. – P. 4992 – 4994.
7. Chen L., Zhong Z., Chen C., He X., Chen Y. // J. Organomet. Chem. – 2014. – **752**. – P. 100 – 108.
8. Jevtic V.V., Pesic M., Radic S.P. et al. // J. Mol. Struct. – 2013. – **1040**. – P. 216 – 220.
9. Peterson A.E., Miller J.J., Miles B.A. et al. // Inorg. Chim. Acta. – 2014. – **415**. – P. 88 – 94.
10. Orlysyk S.I., Bon V.V., Pekhnyo V.I. et al. // Polyhedron. – 2012. – **38**. – P. 15 – 25.
11. Bredenkamp A., Zenq X., Mohr F. // Polyhedron. – 2012. – **33**. – P. 107 – 113.
12. Dutta P.K., Panda S., Zade S.S. // Inorg. Chim. Acta. – 2014. – **411**. – P. 83 – 89.
13. Al-Jibori S.A., Dayaaf N.A., Mohammed M.Y. et al. // J. Chem. Cryst. – 2013. – **43**. – P. 365 – 372.
14. Lacroix P.G., Averseng F., Malfant I., Nakatani K. // Inorg. Chim. Acta. – 2004. – **357**. – P. 3825 – 3835.
15. Mistryukov A.E., Vasil'chenko I.S., Sergienko V.S. et al. // Mendeleev Commun. – 1992. – **2**, N 1. – P. 30 – 32.
16. Orlysyk S.I., Bon V.V., Pekhnyo V.I. // Acta Crystallogr. Sect. E. Struct. Rep. Online. – 2009. – **65**. – P. m1059.
17. Харабаев Н.Н., Стариков А.Г., Минкин В.И. // Докл. АН. – 2014. – **458**, № 5. – С. 555 – 558.
18. Parr R., Yang W. Density-Functional Theory of Atoms and Molecules. – New York: Oxford University Press, 1989.
19. Frisch M.J., Trucks G.W., Schlegel H.B. et al. GAUSSIAN 03, Revision E.01. Gaussian, Inc., Wallingford CT, 2004.
20. Becke A.D. // Phys. Rev. – 1988. – **A38**. – P. 3098 – 3102.
21. Lee C., Yang W., Parr R.G. // Phys. Rev. – 1988. – **B37**. – P. 785 – 790.
22. Sousa S.F., Fernandes P.A., Ramos M.J. // J. Phys. Chem. A. – 2007. – **111**, N 42. – P. 10439 – 10452.
23. Burke K., Wagner L.O. // Int. J. Quantum Chem. – 2013. – **113**, N 2. – P. 96 – 101.
24. Tsipis A.C. // Coord. Chem. Rev. – 2014. – **272**. – P. 1 – 29.
25. Zhurko G.A., Zhurko D.A. Chemcraft. Version 1.6. URL: <http://www.chemcraftprog.com>